

ЭЛЕКТРОННЫЙ ПАРАМАГНИТНЫЙ РЕЗОНАНС С $g_{eff} \approx 4.2$ В $\text{YBa}_2\text{Cu}_3\text{O}_{6.35}$. МОДЕЛЬ ЦЕПОЧЕЧНЫХ МЕДНО-КИСЛОРОДНЫХ ФРАГМЕНТОВ

M. B. Еремин^{a}, P. M. Еремина^b, M. P. Гафуров^a, B. A. Иваньшин^{ac},*
*И. Н. Куркин^a, С. П. Курзин^a, X. Келлер^d, M. Гутман^{e**}*

^a Казанский государственный университет
420008, Казань, Россия

^b Казанский физико-технический институт
420029, Казань, Россия

^c Experimentalphysik V, EKM, Institut für Physik, Universität Augsburg
D-86159 Augsburg, Germany

^d Physik-Institut der Universität Zürich
CH-8057 Zürich, Switzerland

^e Laboratory for Neutron Scattering, ETH Zürich & Paul Sherrer Institut
CH-5232 Villigen, Switzerland

Поступила в редакцию 11 мая 1999 г.

Проведены систематические измерения спектров ЭПР с $g \approx 4.2$ в соединениях $\text{YBa}_2\text{Cu}_3\text{O}_{6+y}$ при различных индексах допирования y . Температурные зависимости интенсивности спектров показывают, что основные состояния центров синглетны, а энергии возбужденных состояний $M_S = \pm 1$ соответствуют 8–11 К. В общем случае интенсивность спектров ЭПР меняется со временем и зависит от технологии приготовления образцов. Наиболее вероятными моделями исследованных парамагнитных центров считаются цепочечные фрагменты ионов меди переменной валентности. Описаны общие закономерности энергетической структуры таких центров.

PACS: 74.72.Bk; 76.30.-v; 74.62.Bf

1. ВВЕДЕНИЕ И ОБЗОР ПРЕДШЕСТВУЮЩИХ РАБОТ

Соединения состава $\text{YBa}_2\text{Cu}_3\text{O}_{6+y}$ являются сверхпроводниками при $y > 0.35$ и в связи с этим интенсивно исследуются различными методами, в том числе методом ЭПР. Как правило, спектр ЭПР состоит из единственной линии с $g \approx 2.0$ – 2.4 [1–5]. В зависимости от технологии приготовления образцов спектр ЭПР наблюдается либо при высоких температурах [1–3] (назовем его высокотемпературным спектром), либо только при $T < 40$ К [1, 4, 5] (назовем его низкотемпературным спектром). Природа центров ЭПР с $g \approx 2$ неоднократно обсуждалась

в литературе, однако окончательно она еще не выяснена. В большинстве работ за неимением лучшей модели этот сигнал условно связывается с одиночными ионами Cu^{2+} в цепях. Авторы [5] допускают, что низкотемпературный спектр обусловлен медно-кислородным кластером с $S = 2$. Предположение о наличии медно-кислородных центров со спинами $S = 1/2$ и $S = 2$ в плоскостях $\text{YBa}_2\text{Cu}_3\text{O}_{6+y}$ хорошо объясняет температурные и полевые зависимости удельной теплоемкости в $\text{YBa}_2\text{Cu}_3\text{O}_{6+y}$ [6] при низких температурах.

В ряде публикаций сообщалось о наблюдении в спектре ЭПР соединений $\text{YBa}_2\text{Cu}_3\text{O}_{6+y}$ линии при $g \approx 4.2$. Естественно, допускалось и обсуждалось, что линия ЭПР при $g \approx 4.2$ связана с наличием парамагнитных центров с $S \neq 1/2$, например ионов Cu^{3+} ($S = 1$), пар Cu^{2+} - Cu^{2+} ($S = 1$) или случай-

*E-mail: Mikhail.Eremin@ksu.ru

**H. Keller, M. Gutmann.

ной примеси ионов Fe^{3+} .

Наблюдение в спектре ЭПР единственной линии с $g \approx 2$ допускает различные точки зрения на структуру центра. В связи с этим исследование спектра ЭПР линии в «половинном» поле ($g \approx 4.2$) представляется более информативным для установления природы парамагнитных центров. Отметим некоторые публикации, в которых сообщалось либо о наблюдении ЭПР при $g \approx 4.2$, либо предполагалось, что сигнал ЭПР обусловлен ионами с $S \neq 1/2$ [7–24].

Авторы работ [7–10, 15] считают, что в исследуемых ими образцах ионы меди имеют не только валентность Cu^{2+} , но и Cu^{3+} ($S = 1$). Однако спектр ЭПР с $g \approx 4.2$ в этих работах не наблюдается.

В работе [11] исследован ЭПР соединений $\text{Pr}_{0.5}\text{Y}_{0.5}\text{Ba}_2\text{Cu}_3\text{O}_x$ и наблюдается несколько линий ЭПР, в том числе линия небольшой интенсивности с $g = 4.19(1)$. Авторы [11] считают, что спектр ЭПР обусловлен парами ионов Cu^{2+} со слабым обменным взаимодействием, а линия с $g = 4.19$ соответствует переходу $\Delta M = \pm 2$. Предполагается, что пары Cu^{2+} находятся в плоскостях $\text{Cu}(1)\text{O}$ и каким-то образом магнитно-изолированы от антиферромагнитно-связанных ионов меди в плоскостях $\text{Cu}(2)\text{O}_2$. В качестве маловероятного предположения линию с $g = 4.19$ авторы [11] относят к случайной примеси ионов Fe^{3+} . В [11] также отмечается, что интенсивность линии с $g = 4.19$ существенно уменьшается через один месяц после приготовления образца.

В работе [12] исследован ЭПР соединений RBaCuFeO_5 ($\text{R} = \text{Eu}, \text{Y}, \text{Yb}$). Наблюдаются ряд линий и в том числе линия с $g = 4.21(1)$ и с шириной $\Delta H = 3.1(1) \cdot 10^{-3}$ Тл. Авторы [12] считают, что спектр ЭПР принадлежит двум типам центров ионов Fe^{3+} (один из них дает сигнал при $g = 4.21$).

В [13] исследован ЭПР соединения $\text{LaBaSrCu}_3\text{O}_{6+x}$ в тетрагональной фазе. Авторы [13] наблюдают кроме сигнала ЭПР от ионов Cu^{2+} также широкую линию при $g \approx 2.1$ и $\Delta B_{pp} = 0.19(1)$ Тл. Кроме того, при $T < 20$ К наблюдается узкая линия при $g \approx 4.2$ и $\Delta B_{pp} = 5 \cdot 10^{-3}$ Тл. Этот сигнал авторы [13] относят к переходу $\Delta M = \pm 2$ обменно-связанных пар Cu^{2+} .

В тетрагональной фазе соединения $\text{Y}_{0.5}\text{Sm}_{0.5}\text{Ba}_2\text{Cu}_3\text{O}_{6+x}$ наблюдали ЭПР при $g = 4.22(1)$ и $\Delta H = 0.012(1)$ Тл [14]. Природу этого сигнала, как и в работе [13], относят к обменно-связанным парам ионов Cu^{2+} . Конкретная модель пары не указывается, так как предложить разумную модель такой пары не удается. Дело в том, что параметр суперобменной связи между ближайшими ионами меди должен быть примерно 1500 К (как в плоскостях $\text{Cu}(2)\text{O}_2$), а не 0.22 см⁻¹, как требуется для объяснения спектра ЭПР в [11].

Если же предположить, что это пара вторых или третьих соседей, то непонятно, каким образом спины такой пары в позициях $\text{Cu}(1)$ оказались изолированными от спинов в позициях $\text{Cu}(2)$. Согласно правилам Гудинафа—Канамори, связь спинов $\text{Cu}(1)\text{-Cu}(2)$ через апикальный кислород должна быть порядка 100 К!

В работе [16] исследован ЭПР $\text{YBa}_{1.9}\text{K}_{0.1}\text{Cu}_3\text{O}_x$. При $T < 40$ К наблюдается линия ЭПР с $g \approx 4.5$. Природа этого сигнала не обсуждается. В [17] в соединениях YBaCuO наблюдался слабый сигнал ЭПР с $g \approx 4.5$ при комнатной температуре. ЭПР наблюдается только в образцах, имеющих сростки «черных» и «зеленых» частиц. Авторы работы [17] связывают эти сигналы с ионом Cu^{3+} (при $D > h\nu$, где D — параметр начального расщепления).

В $\text{La}_{1.85}\text{Sr}_{0.15}\text{CuO}_4$ ЭПР с $g \approx 4.18$ наблюдался в [18]. Ссылаясь на работу [19], авторы склонны считать, что линия с $g \approx 4$ характеризует триплетные состояния с $S = 1$, которые образуются парами дырок при избытке последних при допировании стронцием. Это объяснение основано на наблюдении увеличения интенсивности сигнала ЭПР при увеличении количества стронция. Однако в работе [18] было отмечено также увеличение интенсивности сигнала с $g \approx 4$ при допировании ионами железа. Так как введение железа уменьшает концентрацию дырок, то объяснение, предложенное в [19], вызывает сомнения.

В работе [20] исследовано соединение $\text{La}_2\text{CuO}_{4-\delta}$. Наблюден слабый сигнал ЭПР с $g \approx 4$. Интенсивность сигнала следует закону Кюри. Авторы [20] предполагают, что линия с $g \approx 4$ относится либо к ферромагнитным парам Cu^{2+} , либо к Cu^{3+} ($S = 1$).

Исследовано соединение состава BaBiO_3 [21]. Изучались BaBiO_3 как без дополнительных примесей, так и с добавкой Mg, Al, Co, Fe, Mn. Кроме того, изучались соединения $\text{Ba}_{1-x}\text{K}_x\text{BiO}_3$ с $x = 0.1$ и примесью 0.1% Co или 1% Al. Во всех образцах наблюдался ЭПР с $g \approx 4$ –4.5. Очень интенсивная линия ЭПР в образцах с добавкой кобальта, несомненно, соответствует иону Co^{2+} . В других образцах интенсивность сигнала с $g \approx 4.2$ существенно слабее, и причина его не обсуждается.

В статьях [22–24] обнаружена важная особенность ЭПР с $g \approx 4.2$ в системах $\text{Ba}_{1-x}\text{K}_x\text{BiO}_3$ и $\text{BaPb}_y\text{Bi}_{1-y}\text{O}_3$. Анализируя температурную зависимость интенсивности данного сигнала ЭПР, авторы [22–24] нашли, что ЭПР с $g \approx 4.2$ наблюдается от возбужденных триплетных состояний. Предположительно, эти триплетные состояния отнесены к парам кислородных дырок, локализованных на апикальных кислородах.

И обратим также внимание на статью [25], в которой соединение $\text{YBa}_2\text{Cu}_3\text{O}_x$ исследовалось методом ЭПР и при $T < T_c$ наблюдался интенсивный сигнал в слабом магнитном поле ($< 100 \text{ Гц}$). Авторы работы [25] связывают этот сигнал с образованием пар $\text{Cu}^{2+}-\text{Cu}^{4+}$. Это ошибочный вывод, так как сигнал в «нулевом» магнитном поле не ЭПР, а нерезонансное СВЧ-поглощение, свойственное сверхпроводникам. Однако их рассуждения о флуктуациях (скорость $< 10^{10} \text{ с}^{-1}$) валентности меди типа $2\text{Cu}^{3+} \rightarrow \text{Cu}^{4+} + \text{Cu}^{2+}$ и $2\text{Cu}^+ \rightarrow \text{Cu}^{2+} + \text{Cu}^0$ представляют интерес в плане обсуждаемых ниже моделей центров переменной валентности.

Завершая обзор литературы, можно сделать такой вывод: хотя публикаций по наблюдению линии ЭПР в «половинном» поле достаточно много, однако экспериментальные результаты все еще противоречивы и, соответственно, заключения и предположения авторов о природе этого сигнала, по крайней мере в $\text{YBa}_2\text{Cu}_3\text{O}_{6+y}$, неоднозначны. В ряде случаев этот сигнал обусловлен наличием посторонних или специально внедренных примесей (Fe^{3+} , Co^{2+}). Однако это, по-видимому, не единственная причина появления ЭПР в половинном поле в $\text{YBa}_2\text{Cu}_3\text{O}_{6+y}$.

В настоящей работе сообщается об исследовании соединений YBaCuO с различным содержанием кислорода и различной технологией приготовления образцов с целью обнаружения сигнала ЭПР с $g \approx 4$. Выполнены измерения как на неориентированных образцах YBaCuO , так и на образцах, ориентированных внешним магнитным полем (квазимонокристаллы). Температурная зависимость интенсивности спектра ЭПР с $g \approx 4.2$ показала, что ЭПР наблюдается от возбужденных состояний с $S = 1$. Полученные экспериментальные результаты наиболее естественно объясняются цепочечными кластерами меди переменной валентности.

2. ЭКСПЕРИМЕНТ

В настоящей работе методом ЭПР исследованы соединения состава $\text{YBa}_2\text{Cu}_3\text{O}_{6+y}$, как правило, с примесью редкоземельных ионов (Yb, Er). Исследования выполнены на ЭПР-спектрометре марки ИРЭС-1003 (X -диапазон, частота 9.25–9.48 ГГц) в диапазоне температур 4–100 К.

Исследовались три серии образцов YBaCuO с различным содержанием кислорода, различающиеся методикой их приготовления.

Серия А. Образцы этой серии приготавливались по обычной керамической технологии из компонент Y_2O_3 , R_2O_3 (1% по отношению к Y_2O_3 , R = Er или Yb), BaCO_3 и CuO . Сначала были пригото- влены сверхпроводящие образцы A1 (без примеси R³⁺), A2

(с примесью Yb³⁺), A3 (с примесью Er³⁺) (перетирание смеси компонент в течение 1 часа; медленный нагрев до 850°C, выдержка 15 часов, быстрое охлаждение, снова перетирание, медленный нагрев до 900°C, выдержка 6 часов, медленное охлаждение). Вся процедура в атмосфере воздуха. Полученные образцы A1, A2, A3 имели $T_c \approx 85 \text{ K}$, $x \approx 6.85$. Затем из части образцов A1–A3 были пригото- влены несверхпроводящие образцы A4, A5, A6 (образцы A1–A3 отжигались на воздухе при температуре 900°C в течение 2.5 часов, затем закаливались в азоте и сушились в атмосфере гелия). В полученных образцах A4–A6 сверхпроводимость отсутствовала (при $T \approx 10 \text{ K}$), а содержание кислорода, оцененное из измерений параметра решетки c , составило $x \approx 6.35$. ЭПР редкоземельных ионов (Er³⁺ и Yb³⁺) в образцах серии A нами исследован в работе [26]. Образцы серии A были пригото- влены Р. Ю. Абдулсабировым и С. Л. Кораблевой.

Серия В. Образцы этой серии ($\text{Y}_{0.99}\text{Er}_{0.01}\text{Ba}_2\text{Cu}_3\text{O}_x$), так же как и образцы серии A, пригото- влены методом твердофазного синтеза из компонент Y_2O_3 , Er_2O_3 , BaCO_3 и CuO . Однако в отличие от серии A использован другой температурный и атмосферный режим. Сначала получены соединения с кислородным содержанием $x \approx 7$ (медленный нагрев сначала в атмосфере воздуха и затем азота до 940°C, выдержка в азоте и затем в кислороде около 10 часов, потом медленное трехступенчатое охлаждение в кислороде до комнатной температуры). Весь цикл продолжается около 110 часов. Образцы этой серии с кислородным индексом $x < 7$ получены из образцов с $x = 7$ путем отжига в атмосфере азота. Количество кислорода в образце зависит от температуры отжига (T_{ann}). Чем выше T_{ann} , тем ниже содержание кислорода. Например, при $T_{ann} = 930^\circ\text{C}$ получен образец с $x \approx 6.12$, а при $T_{ann} = 320^\circ\text{C}$ — с $x = 6.96$. Время отжига было около 30 часов. Получено 10 образцов с различным содержанием кислорода. Серия В была выращена Р. Ш. Ждановым и М. В. Митягиным.

Серия С. Технология приготовления образцов этой серии ($\text{YBa}_2\text{Cu}_3\text{O}_{6+y}$ с примесью 1% иона Er³⁺) существенно отличается от технологии приготовления образцов серии A и серии B и подробно излагается в [27, 28]. Здесь мы только отмечаем, что серия C пригото- влена по золь-гель-технологии, а исходные материалы представляют собой нитраты металлов. Полученные образцы этой серии имели различное содержание кислорода от 6 до 7.

Все образцы серий A, B и C были исследованы методом ЭПР на предмет наличия линии при $g \approx 4.2$. В некоторых образцах эта линия наблюдалась, а в некоторых нет. Так, в образцах серии A

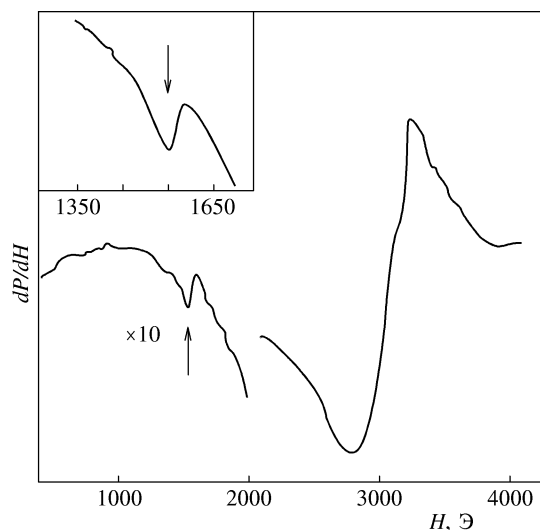


Рис. 1. Спектр ЭПР образца A5 ($\text{YBa}_2\text{Cu}_3\text{O}_{6.35}$) в диапазоне магнитного поля 400–4000 Э , $T \approx 14 \text{ К}$. На вставке — фрагмент спектра в диапазоне 1300–1700 Э , $T \approx 4 \text{ К}$. Стрелкой отмечена линия с $g \approx 4.2$

этот сигнал наблюдался в несверхпроводнике с примесью Yb^{3+} (A5) и в несверхпроводнике без примеси R^{3+} (A4) и не наблюдался в сверхпроводниках A1, A2, A3 и в несверхпроводнике с Er^{3+} (A6). На рис. 1 приведен спектр ЭПР образца A5. Образцы серии A представляли собой порошок в парафине и не были ориентированы.

В образцах серии B и серии C сигнал с $g \approx 4$ не наблюдался при любых значениях кислородного индекса от 6 до 7.

Линия ЭПР при $g \approx 4.2$ была более подробно исследована на образце A5. Этот сигнал имеет малую интенсивность (см. рис. 1) и наблюдается лишь при $T < 100 \text{ К}$. Величина $g = 4.24(2)$ и не зависит от температуры. Ширина линии слабо зависит от температуры (в образце A5 $\Delta H_{pp} \approx 40 \text{ Э}$ при $T \approx 5 \text{ К}$ и $\Delta H_{pp} \approx 50 \text{ Э}$ при $T \approx 30 \text{ К}$). Существенным фактом оказалось наблюдение аномальной (не соответствующей закону Кюри) температурной зависимости интегральной интенсивности этой линии (см. рис. 2). Из этого факта следует, что линия ЭПР с $g = 4.24$ принадлежит не основным, а возбужденным состояниям парамагнитных центров (оценки энергии возбуждения будут сделаны ниже). Для того чтобы убедиться в том, что аномальная зависимость интегральной интенсивности от температуры не обусловлена характеристиками установки или свойствами образца, были выполнены измерения интенсивности линии ЭПР с $g \approx 2$. При $T < 15 \text{ К}$ на линии ЭПР с $g \approx 2$ закон Кюри хорошо выполняет-

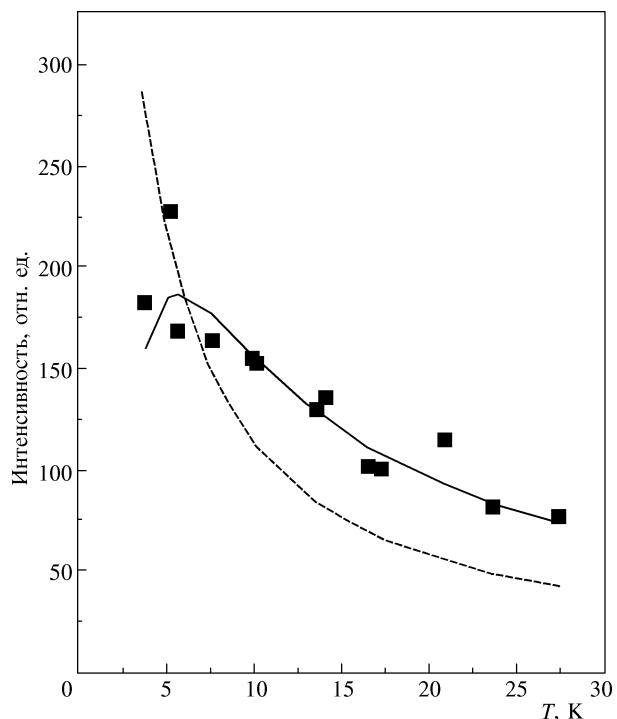


Рис. 2. Относительная интенсивность сигнала ЭПР с $g \approx 4.2$ в образце A5. Сплошная линия соответствует расчету по формуле (2), параметр $\Delta \approx 9.5 \pm 1.5 \text{ К}$, штриховая — закону Кюри

ся. Кроме того, следует отметить, что образцы A4 и A5, в которых наблюдается ЭПР с $g \approx 4.2$, не являются сверхпроводниками. И, наконец, отметим еще следующее обстоятельство. При длительном хранении образцов при комнатной температуре происходят изменения в спектрах ЭПР. В образцах A4 и A5 наблюдается уменьшение интенсивности линий при $g \approx 4.2$ и исчезновение через несколько лет, а сигнал ЭПР с $g \approx 2$ сохраняет высокую интенсивность, меняя, однако, при этом форму линии. Особенно резкие изменения наблюдаются в образцах серий B и C с низким содержанием кислорода — катастрофическое увеличение интенсивности линии с $g \approx 2$. Каких-либо изменений на линиях R^{3+} -ионов не наблюдается в образцах всех серий. Исходя из этого логично заключить, что линии ЭПР с $g \approx 2$ и $g \approx 4$ относятся к разным парамагнитным центрам.

Суммируя экспериментальные факты, можно сделать следующие выводы.

1. В закаленных образцах $\text{YBa}_2\text{Cu}_3\text{O}_{6+y}$, полученных методом твердофазного синтеза и имеющих $y \approx 0.35$, наблюдался ЭПР с $g \approx 4.2$. В отожженных образцах YBaCuO , полученных методом твердофазного синтеза, и в образцах YBaCuO , полученных золь-гель-методом, ЭПР с $g \approx 4.2$ не наблюдался

при любом содержании кислорода.

2. ЭПР с $g \approx 4.2$ и ЭПР с $g \approx 2$ относятся к различным типам центров.

3. ЭПР с $g \approx 4.2$ имеет аномальную зависимость интенсивности от температуры (соответствующую, как и в [22–24], регистрации ЭПР на возбужденных уровнях энергии).

3. АНАЛИЗ МОДЕЛЕЙ ПАРАМАГНИТНОГО ЦЕНТРА С $g \approx 4.2$

На первый взгляд, следуя [22], линию ЭПР с $g \approx 4.2$ логично было бы отнести сразу к паре локализованных дырок (O^-) на апикальных позициях кислорода. В нашем случае, однако, непонятно, как такая пара оказывается «изолированной». Известно, что в $YBa_2Cu_3O_{6+y}$ состояния O^- ($S = 1/2$) сильнейшим образом связаны со спинами меди. Образуются медно-кислородные синглетные состояния, которые ниже для простоты будем обозначать через « Cu^{3+} ($S = 0$)». Образовывать только из них тройственные состояния невозможно. В этой связи мы обратимся к анализу медно-кислородных центров с участием цепочечных спинов меди Cu^{2+} ($S = 1/2$). Модели образования цепочечных фрагментов меди с постоянной валентностью обсуждались в работе [29]. Ниже для полноты последующего анализа мы дополнитель но кратко рассмотрим цепочечные фрагменты из ионов переменной валентности. Так как заполнение позиций $O(4)$ ионами кислорода приводит к изменению валентности ионов меди в цепочках, и так как в итоге эти цепочки оказываются проводящими, представляется вполне естественным допустить образование в цепочках $YBa_2Cu_3O_{6+y}$ фрагментов типа:

- 1) $Cu^{2+}-Cu^+-Cu^{2+}$ или $Cu^{2+}-\langle Cu^{3+} \rangle-Cu^{2+}$,
- 2) $Cu^{2+}-Cu^+-Cu^{2+}-Cu^{2+}$ или

$Cu^{2+}-\langle Cu^{3+} \rangle-Cu^{2+}-Cu^{2+}$ и др.

Избыточные заряды « Cu^{3+} » (дырка) или Cu^+ (электрон), очевидно, могут мигрировать между различными позициями меди, в связи с чем состояния фрагментов из двух звеньев трехкратно вырождены по способу расположения Cu^+ (или « Cu^{3+} »), а состояния фрагментов из трех звеньев вырождены четырехкратно. Возможность образования таких примесных центров с эффективным спином $S = 1/2$ в цепочках $YBa_2Cu_3O_{6+y}$ впервые упоминалась в работе [30] по ЯМР этих соединений при низких температурах.

Рассмотрим вначале вариант, когда основным состоянием « Cu^{3+} ($S = 0$)» является синглетное состояние, как в плоскостях $YBa_2Cu_3O_{6+y}$. По расчетам [31–33] и др. такого рода синглетное состоя-

ние соответствует суперпозиции состояний синглета Занга–Райса, трехвалентной меди Cu^{3+} ($S = 0$) и нейтрального кислорода. Уровни энергии дырочно го и электронного фрагментов могут быть рассчитаны путем диагонализации гамильтониана.

$$H = \sum t_{ij} a_{i\sigma}^+ a_{i\sigma} + \sum J_{ij} \left[(S_i S_j) - \frac{n_i n_j}{4} \right], \quad (1)$$

где J_{ij} — параметр суперобменной связи спинов Cu^{2+} , t_{ij} — интеграл переноса состояний Cu^+ или « Cu^{3+} » между ближайшими соседями меди, n_i — числа заполнения. В первом случае мигрирует электрон, поэтому $J/t < 0$, во втором случае — дырка и, следовательно, $J/t > 0$. Значение $J = 1500$ К мы можем взять такое же, как для состояний меди в плоскостях $YBa_2Cu_3O_{6.1}$ [34], а $t \approx 330$ К, как было измерено для пар $Cr^{3+}-Cr^{2+}$ в $KZnF_3$ [35]. Заметим, что оба параметра нашей модели больше, чем обменный интеграл связи спинов $Cu(1)-Cu(2)$, и поэтому последняя сейчас не обсуждается.

Диагонализация гамильтонианов проводилась численным методом. Результаты расчета приведены на рис. 3. Как и ожидалось, энергетические схемы уровней энергии не зависят от того, мигрирует дырка или электрон. Важна лишь абсолютная величина параметра t . В случае двухзвенного фрагмента при любых соотношениях параметров t и J основным состоянием является синглет, а у трехзвенного фрагмента основное состояние — дублет с эффективным спином $S = 1/2$. Для удобства представления результатов по осям ординат отложен безразмерный параметр $x = |J/t|/(1 + |J/t|)$. Изменение параметра x от нуля до единицы представляет все возможные значения отношения J/t . По осям абсцисс отложены возможные уровни энергии центров в единицах $\sqrt{t^2 + J^2}$. Проведенное рассуждение легко обобщить на случай цепочечных фрагментов с произвольным числом звеньев. Основным состоянием фрагмента из четного числа звеньев с одной дыркой будет синглет, а из нечетного числа звеньев — дублет с $S = 1/2$. Таким образом, мы приходим к выводу, что в цепочках $YBa_2Cu_3O_{6+y}$, вообще говоря, возможно образование различных центров с $S = 1/2$. Однако, поскольку образование приведенных выше центров наиболее вероятно при малых значениях индекса dopирования y в $YBa_2Cu_3O_{6+y}$, мы ограничим наше рассмотрение в данной работе только этими моделями.

Как видно на рис. 3а и 3б, имеется довольно много низколежащих возбужденных состояний, наличие которых необходимо для объяснения отличия температурных зависимостей интенсивностей сигналов ЭПР от закона Кюри. В линейных фрагментах из ионов постоянной валентности возбужденные со-

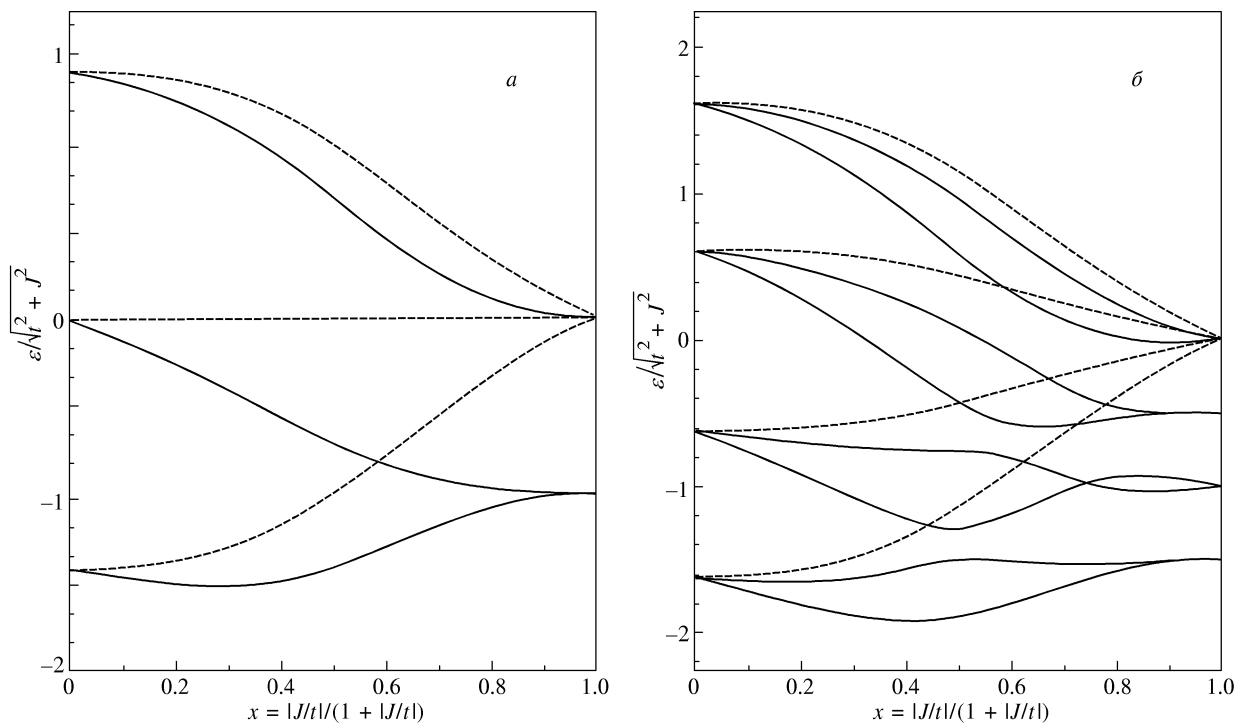


Рис. 3. Энергетические схемы уровней энергии кластеров меди переменной валентности при различных значениях параметров t и J : *а* — кластер типа Cu^{2+} -« Cu^{3+} »- Cu^{2+} , сплошные линии соответствуют состояниям с $S = 0$, штриховые — состояниям с $S = 1$; *б* — кластер типа Cu^{2+} - Cu^{2+} -« Cu^{3+} »- Cu^{2+} , сплошные линии соответствуют состояниям с $S = 1/2$, штриховые — состояниям с $S = 3/2$

стояния расположены гораздо выше и отличия от закона Кюри будут ничтожны. В этом аспекте наши модели принципиально отличаются от рассмотренных в работе [29].

Итак, предположим, что кластеры переменной валентности меди с основным состоянием $S = 0$ и возбужденным $S = 1$ ответственны за наблюдаемые сигналы ЭПР с $g \approx 4.2$ в $\text{YBa}_2\text{Cu}_3\text{O}_{6+y}$, и обратимся к анализу температурных зависимостей сигналов ЭПР. Измеренные в данной работе температурные зависимости относительных интенсивностей сигналов ЭПР в поле 1590 Гц приведены на рис. 2. Если линия ЭПР с $g \approx 4.2$ связана с возбужденным состоянием парамагнитного центра $S = 1$ (переход между состояниями $M_S = +1$ и $M_S = -1$), то ее интенсивность должна определяться формулой

$$I = \text{const} \times \frac{\exp(-g\beta H/kT) - \exp(g\beta H/kT)}{1 + \exp(-g\beta H/kT) + \exp(g\beta H/kT) + \exp(\Delta/kT)}, \quad (2)$$

где Δ — абсолютная величина энергетического интервала между основным синглетом и возбужденным триплетом. Методом наименьших квадратов из экспериментальных данных, приведенных на рис. 2, находим, что $\Delta \approx 9$ К для $\text{YBa}_2\text{Cu}_3\text{O}_{6.35}$. На рис. 3а

видно, что эти интервалы при значениях параметра t порядка 330 К значительно больше. В связи с этим модель центра Cu^{2+} - Cu^{+} - Cu^{2+} не подходит для объяснения наших экспериментов. Что касается модели Cu^{2+} -« Cu^{3+} »- Cu^{2+} , то она вполне может быть согласована с наблюдаемой температурной зависимостью интенсивности сигнала ЭПР с $g \approx 4.2$, если учесть неэквивалентность положения состояния « Cu^{3+} » в центре кластера и на его концах. На рис. 4 приведены уровни энергий кластера при разности энергии связи полярона « Cu^{3+} » в центре кластера и на его концах, равной $G_{pol} = -0.25$ эВ. Видна нетривиальная важная особенность модели. Возбужденное состояние $S = 1$ располагается вблизи основного синглетного состояния, хотя все три параметра — t , J и G_{pol} — значительно больше этого масштаба энергий. В рассматриваемых моделях парамагнитных центров можно указать три источника анизотропного спин-спинового взаимодействия вида $DS_z^2 + E(S_x^2 - S_y^2) + \dots$: диполь-дипольное и псевдо-дипольное взаимодействия спинов Cu^{2+} как для пар изолированных ионов [36], так и анизотропное обменное взаимодействие спина дырки на кислороде со спинами меди. Последнее в нашем случае, по-видимому, доминирует. По оценкам работы [37], для медно-кислородных кластеров с основным син-

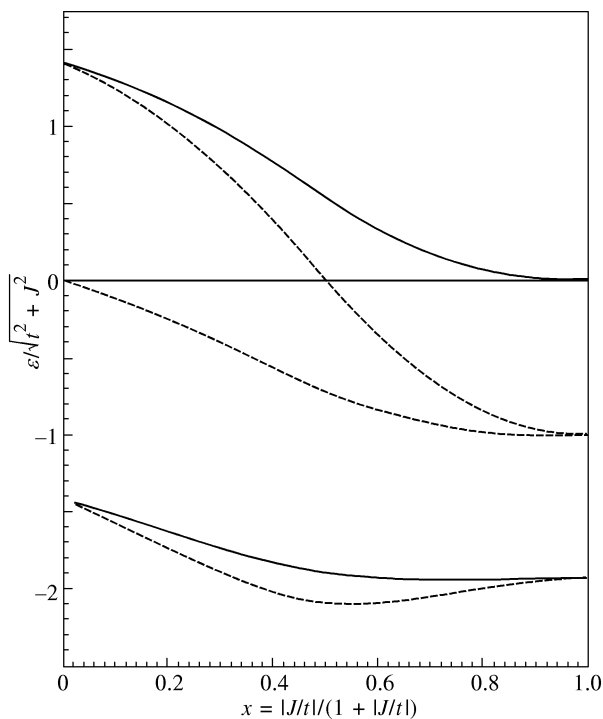


Рис. 4. Энергетические схемы уровней кластера Cu^{2+} -« Cu^{3+} »- Cu^{2+} с учетом $G_{pol} = -0.25$ эВ. Сплошные линии соответствуют состояниям с $S = 0$, штриховые — состояниям с $S = 1$

гледным состоянием в плоскостях CuO_2 анизотропия спин-спинового взаимодействия дырок кислорода и меди может привести к $D = 0.05\text{--}0.2$ мэВ. Это заключение справедливо и в нашем случае, поэтому становится понятным отсутствие сигнала ЭПР от рассматриваемых кластеров с $g \approx 2$.

Обсудим теперь вопрос, почему ЭПР в «половинном» магнитном поле наблюдался нами лишь в закаленных несверхпроводящих образцах $\text{YBa}_2\text{Cu}_3\text{O}_{6.35}$, полученных методом твердофазного синтеза. В нашей модели ЭПР с $g \approx 4.2$ соответствует переходу $|+1\rangle \leftrightarrow |-1\rangle$ и запрещен, когда эти состояния не содержат малой примеси состояния $|0\rangle$. Именно такова ситуация для идеально упорядоченной кристаллической решетки или для изолированного кластера Cu^{2+} -« Cu^{3+} »- Cu^{2+} , и ЭПР в «половинном» поле не наблюдается. Ситуация, однако, меняется, когда мы имеем дело с образцами с неоднородным распределением кислорода у границы перехода из тетрагональной фазы в ромбическую, такими как закаленные $\text{YBa}_2\text{Cu}_3\text{O}_{6.35}$. Эти «плохие» несверхпроводящие образцы имеют максимальные искажения локальных кристаллических полей, что и объясняет частичное разрешение перехода $\Delta M = \pm 2$.

Заметим, что полученные нами по температурной зависимости энергии возбужденных состояний парамагнитных центров с $M_S = \pm 1$ не противоречат данным по удельной теплоемкости [6], так как описанные нами центры «вымораживаются» при сверхнизких температурах и не дают вклада в удельную теплоемкость.

Вообще говоря, линейный цепочечный фрагмент $\text{Cu}^{3+} (S = 1/2)$ - $\text{Cu}^{2+} (S = 1/2)$ - $\text{Cu}^{2+} (S = 1/2)$ - $\text{Cu}^{3+} (S = 1)$, как показывают наши расчеты¹⁾, обладает аналогичной структурой нижних спиновых состояний. Для описания энергетического спектра этого фрагмента, конечно, требуется выходить за рамки t - J -модели. Так же, как и у фрагмента $\text{Cu}^{2+} (S = 1/2)$ -« $\text{Cu}^{3+} (S = 0)$ »- $\text{Cu}^{2+} (S = 1/2)$, его основное состояние (при $x > 0.5$) является синглетным, а возбужденный триплет отстоит сравнительно невысоко. Оба типа фрагментов при своем образовании в процессе дипиорования образцов кислородом не приводят к появлению дырок в плоскостях CuO_2 и, следовательно, не разрушают антиферромагнитных корреляций спинов $\text{Cu}(2)$. Обе модели центров могут объяснить наблюденный нами следующий экспериментальный факт: в образцах A4 и A5 интенсивность линии ЭПР с $g \approx 4.2$ со временем уменьшается. Через несколько лет после приготовления образцов она исчезает, тогда как сигнал ЭПР с $g \approx 2$ сохраняется, меняя, однако, при этом форму линии. Все это представляется естественным из-за диффузии и упорядочения кислорода. Цепочечные фрагменты Cu^{2+} -« Cu^{3+} »- Cu^{2+} представляются наиболее вероятными и интересными для физики зарядового упорядочения оксидов переходных металлов. Недавно они независимо²⁾ были предложены для объяснения удельной теплоемкости, ЯМР/ЯКР и спиновой восприимчивости квазидвумерных цепочек меди в $\text{Sr}_{2.5}\text{Ca}_{11.5}\text{Cu}_{24}\text{O}_{41}$ [39, 40].

4. ЗАКЛЮЧИТЕЛЬНЫЕ ЗАМЕЧАНИЯ

Итак, наиболее естественной моделью центра ЭПР с $g \approx 4.2$ в $\text{YBa}_2\text{Cu}_3\text{O}_{6.35}$ являются цепочечные медно-кислородные кластеры переменной валентности. Выделенные фрагменты ионов переменной валентности Cu^{2+} -« $\text{Cu}^{3+} (S = 0)$ »- Cu^{2+} в $\text{YBa}_2\text{Cu}_3\text{O}_{6.35}$ и $\text{Sr}_{2.5}\text{Ca}_{11.5}\text{Cu}_{24}\text{O}_{41}$ [39, 40], как выясняется в последнее время, имеют свои аналоги в других оксидах переходных ме-

¹⁾ Анализ силы кристаллического поля на трехкратно координированной меди показал, что ее основное состояние должно быть скорее $\text{Cu}^{3+} (S = 1)$, нежели $\text{Cu}^{3+} (S = 0)$.

²⁾ Наша работа была представлена в печать в мае 1999 г. и доложена на Коллоквиуме Ампера в г. Пиза в июне 1999 г. [38].

таллов. Фрагменты переменной валентности $\text{Ni}^{2+}(S = 1/2)$ – $\text{Ni}^{3+}(S = 1)$ – $\text{Ni}^{2+}(S = 1/2)$, оказываются, являются структурной единицей страйповой структуры в никелатах $\text{La}_2\text{NiO}_{4.17}$ [41, 42]. Зигзагообразные структуры из троек Mn^{3+} – Mn^{4+} – Mn^{3+} имеются в манганитах ($\text{La}_{1-x}\text{Sr}_x\text{MnO}_3$) (см. обзор [43]). Тенденция к образованию структурных фрагментов переменной валентности, очевидно, является общим свойством допированных мотт-хаббардовских диэлектриков. В этой связи значение выводов нашей работы выходит далеко за рамки проблемы ЭПР в половинном поле.

Авторы благодарны М. А. Теплову за постоянное внимание и обсуждение проблемы магнитных центров в ВТСП на начальном этапе настоящих исследований и А. Ю. Якубовскому за критические замечания.

Работа выполнена при частичной поддержке Российского фонда фундаментальных исследований (проекты 97-02-18598, 98-02-17687), Государственной научно-технологической программы «Сверхпроводимость» (проект 98014) и Swiss National Science Foundation (grant № 7SUPJ048660).

ЛИТЕРАТУРА

1. J. Genossar, D. Shaltiel, V. Zevin et al., *J. Phys.: Condens. Matter* **1**, 9471 (1989).
2. I. A. Garifullin, N. N. Garif'yanov, N. E. Alekseevskii et al., *Physica C* **179**, 9 (1991).
3. B. I. Kochelaev, J. Sichelschmidt, B. Elschner, W. Lemor, and A. Loidl, *Phys. Rev. Lett.* **79**, 4274 (1997).
4. J. Stankowski, W. Kempinski, and Z. Trybula, *Acta Phys. Polonica A* **80**, 571 (1991).
5. Р. М. Еремина, М. Р. Гафуров, И. Н. Куркин, *ФТТ* **39**, 432 (1997).
6. J. P. Emerson, D. A. Wright, B. F. Woodfield et al., *Phys. Rev. Lett.* **82**, 1546 (1999).
7. D. H. A. Blank, J. Flokstra, G. J. Gerritsma et al., *Physica B* **145**, 222 (1987).
8. U. Straub, D. Krug, Ch. Ziegler et al., *Mat. Res. Bull.* **24**, 681 (1989).
9. M. D. Glinchuk and A. P. Pecheniy, *Physica C* **220**, 233 (1994).
10. A. P. Pechoniy, M. D. Glinchuk, V. A. Mineev, and I. G. Babich, *Phase Transitions* **29**, 105 (1990).
11. V. Likodimos, N. Guskos, G. Palios et al., *Phys. Rev. B* **52**, 7682 (1995).
12. N. Guskos, V. Likodimos, J. Kuriata et al., *Phys. Stat. Sol. (b)* **181**, K69 (1994).
13. N. Guskos, V. Likodimos, J. Kuriata et al., *Phys. Stat. Sol. (b)* **180**, 491 (1993).
14. N. Guskos, V. Likodimos, G. Palios et al., *Phys. Stat. Sol. (b)* **184**, K31 (1994).
15. N. Guskos, Th. Leventouri, Ch. Trikalinos et al., *Phys. Stat. Sol. (b)* **152**, K9 (1989).
16. S. K. Misra and L. E. Misiak, *Solid State Comm.* **72**, 1207 (1989).
17. Д. Л. Лыфарь, Д. П. Моисеев, А. А. Мотуз и др., *ФНТ* **13**, 876 (1987).
18. A. Sienkiewicz, M. Z. Cieplak, G. Xiao, and C. L. Chien, *J. Less-Common Metals* **164–165**, 870 (1990).
19. H. Thomann, R. A. Klemm et al., *Phys. Rev. B* **38**, 6552 (1988).
20. В. Е. Катаев, Е. Ф. Куквицкий, Ю. И. Таланов, Г. Б. Тейтельбаум, *Письма в ЖЭТФ* **48**, 96 (1988).
21. G. Wubbeler, *Elektronenspinresonanz-Untersuchungen und Cu-freie Hochtemperatursupraleitern*, Universität Osnabrück (1990).
22. A. Yakubovskii, S. Gudenko, A. Rusakov et al., *Physica C* **282–287**, 1929 (1997).
23. A. I. Golovashkin, A. Yakubovskii, S. Gudenko, and A. P. Rusakov, *Physica C* **317–318**, 432 (1999).
24. А. Ю. Якубовский, С. В. Гуденко, Н. В. Аншукова, А. И. Головашкин, Л. И. Иванова, А. П. Русаков, *ЖЭТФ* **115**, 1326 (1999).
25. M. D. Sastry, A. G. I. Dalvi, Y. Babu et al., *Nature* **330**, 49 (1987).
26. Р. Ю. Абдулсабиров, Р. Ш. Жданов, Я. С. Изыгзон и др., *Сверхпроводимость: физика, химия, техника*, **2** (11), 52 (1989).
27. V. A. Ivanshin, M. R. Gafurov, I. N. Kurkin et al., *Physica C* **307**, 61 (1998).
28. P. Meufels, B. Rupp, and E. Poerschke, *Physica C* **156**, 441 (1988).
29. G. Uimin, *Phys. Rev. B* **50**, 9531 (1994).
30. M. A. Теплов, О. Н. Бахарев, А. В. Доглав и др., в *Materials of the 13th Workshop of Int. School Solid State Physics*, Erice, Italy (1998).
31. А. С. Москвин, Н. Н. Лошкарева, Ю. П. Сухоруков и др., *ЖЭТФ* **105**, 967 (1994).

- 32.** R. Martin, Phys. Rev. B **53**, 15501 (1996).
- 33.** М.В. Еремин, С. Г. Соловьев, С. В. Варламов, ЖЭТФ **112**, 1763 (1997).
- 34.** Guo-meng Zhao, K. Conder, H. Keller, and K. A. Muller, Nature **381**, 676 (1996).
- 35.** М. В. Еремин, С. И. Никитин, Н. И. Силкин и др., Письма в ЖЭТФ **61**, 599 (1995).
- 36.** J. Owen and E. A. Harris, in *Electron Paramagnetic Resonance*, Plenum Press, New York, London (1972), p. 427.
- 37.** M. Eremin and E. Sigmund, Solid State Comm. **90**, 765 (1994).
- 38.** M. Eremin, R. Eremina, M. Gafurov, V. Ivanshin, I. Kurkin, S. Kurzin, H. Keller, and M. Gutmann, in *Abstr. Specialized Colloque AMPERE*, Pisa, Italy (1999), p. 123.
- 39.** K. Kumagai, S. Tsuji, R. Nishikawa, K. Maki, and K. Ueno, in *Abstr. LT22*, Helsinki, Finland (1999), p. 238.
- 40.** S. Ohsugi, Y. Kitaoka, K. Magishi, T. Nagata, H. Fujino, and J. Akimitsu, in *Abstr. LT22*, Helsinki, Finland (1999), p. 238.
- 41.** I. M. Abu-Shiekah, O. O. Bernal, H. B. Brom, M. L. de Kok, A. A. Menovsky, J. T. Witteveen, and J. Zaanen, E-prints archive, cond-mat/9805124; submitted to Phys. Rev. Lett.
- 42.** P. Wochner, J. M. Tranquada, D. J. Buttrey, and V. Sachan, Phys. Rev. B **57**, 1066 (1998).
- 43.** D. I. Khomskii and G. A. Sawatzky, Solid State Comm. **102**, 87 (1997).